

5.5 他励直流电动机的调速

与交流异步电动机相比，直流电动机结构复杂，价格高，维护不方便，但它的最大优点是调速性能好。

直流电动机调速的主要优点是：

（1）调速均匀平滑，可以无级调速。（异步电动机改变极对数调速的方法叫有级调速）。

（2）调速范围大，调速比可达 200 以上（调速比等于最大转速和最小转速之比），因此机械变速所用的齿轮箱可大大简化。

下面以他励电动机为例说明直流电动机的调速方法。

转速公式：

$$n = \frac{U}{C_e \Phi} - \frac{R}{C_e C_T \Phi^2} T$$

调速方法有： 改变电枢回路电阻调速、改变磁通调速、改变电枢端电压调速。

1. 降低电枢电压调速

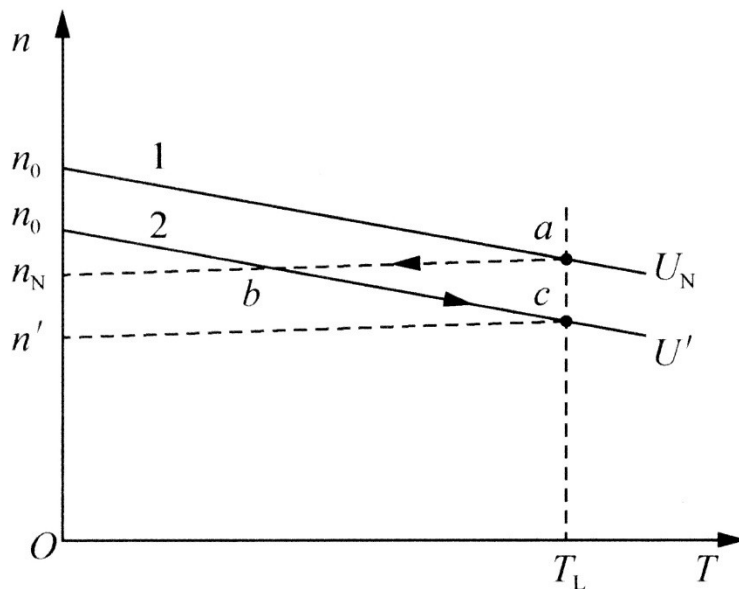


图 5.22 降低电枢电压调速

- (1) 工作时电枢电压不允许超过 U_N ，而 $n \propto U$ ，所以调速只能是基速以下调速。
- (2) 平滑、无级调速，且不影响机械特性。
- (3) 调速幅度较大；直流拖动系统中被广泛应用；

2. 电枢串电阻调速

电源电压和励磁不变，
改变电枢阻值

$$U = I_a R + E_a = I_a R + C_e \Phi n$$

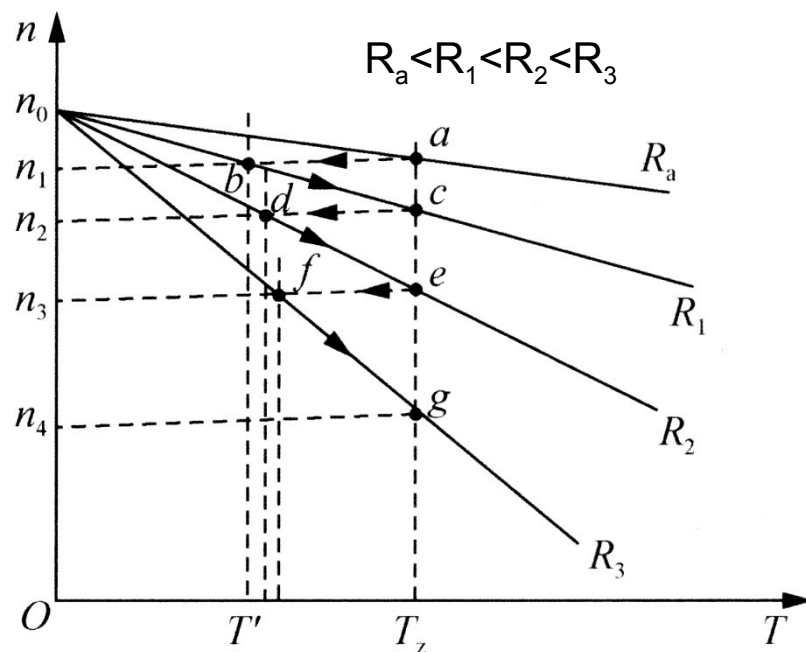
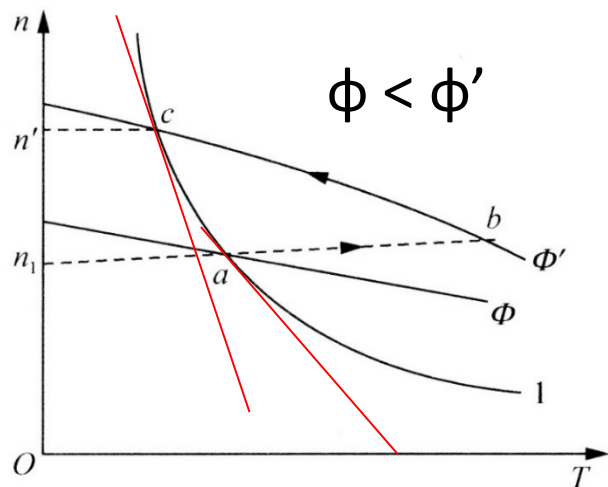


图 5.23 电枢串电阻调速

- (1) 调速只能向下调，且影响机械特性，尤其在低速时。
- (2) 尽管方法及控制设备简单，但电枢回路串接电阻，能量消耗大，效率低；多只用于小容量电机调速。

3. 弱磁调速

在电机设计中，额定工作状态下磁通接近饱和，所以只能弱磁调速。



$$n = n_0 - \Delta n = \frac{U_N}{C_e \Phi} - \frac{R_a}{C_e C_T \Phi^2} T_e$$

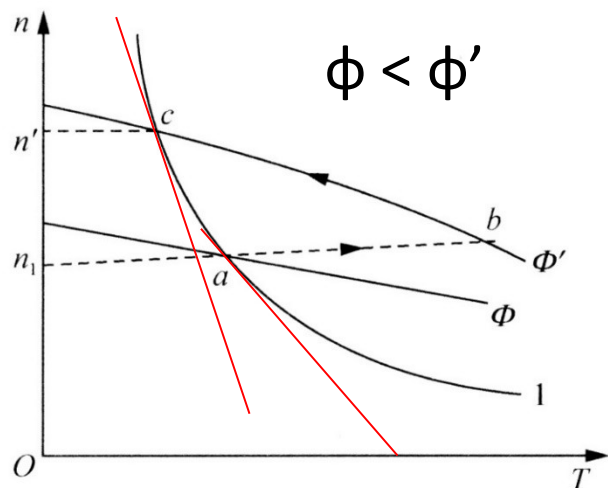
1. 减小磁通 Φ 后， n_0 和 Δn 都会增加，但由于 R_a 很小，所以 n_0 比 Δn 增加得快，导致 n 在弱磁时转速上升。

2. 减小磁通 Φ 导致斜率加大，机械特性变软，故较多应用于恒功率场合

$$U = I_a R + E_a = I_a R + C_e \Phi n$$

$$T_e = C_T \Phi I_a$$

3. 弱磁调速



$$U = I_a R_a + C_e \Phi n$$

调速过程：初始工作在 a 点，磁通由 Φ 调至 Φ' 时， n 不能突变导致 $C_e \Phi n$ 减小，随之 I_a 及相应的 T_e 增大，工作点从 a 移动到 b。

n 增加，在电枢电压不变的情况下， I_a 和 T_e 逐渐减小，从 b 移动到 c，并进入新平衡状态。

- ◆ 由于励磁电流一般只有额定电流的 1%~3%，所以弱磁调速能耗小、控制方便。
- ◆ 弱磁使转速上调，但受电机温升的限制，转速不能太高。

5.6 他励直流电动机的制动

为加快电动机停车过程，可以使用电气制动方法，即在电动机转轴上施加一个与旋转方向相反的电磁转矩（制动转矩），从而达到使电动机快速停车的目的，具体有三种方法：

能耗制动、反接制动、回馈制动。

1. 能耗制动

(1) 制动原理

制动时将电枢绕组从电源上断开，并接上一电阻。

制动前电流：
$$I_a = \frac{U_N - E_a}{R_a}$$

制动时电流：
$$I_a = \frac{U_N - E_a}{R_a + R_b} = \frac{-E_a}{R_a + R_b}$$

电枢电流方向改变了，电磁转矩方向亦改变，由驱动转矩变成阻转矩。

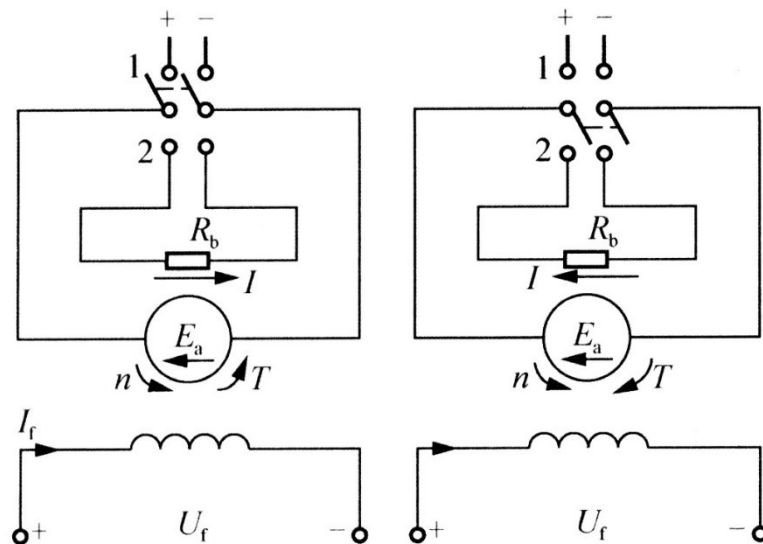


图 5.25 能耗制动电路原理图

(2) 制动过程

① 反抗性恒转矩负载： $A \rightarrow B \rightarrow O$

② 位能型恒转矩负载（起重机）： $A \rightarrow B \rightarrow C$

(3) 特点：制动转矩较小，一般与机械制动配合使用。

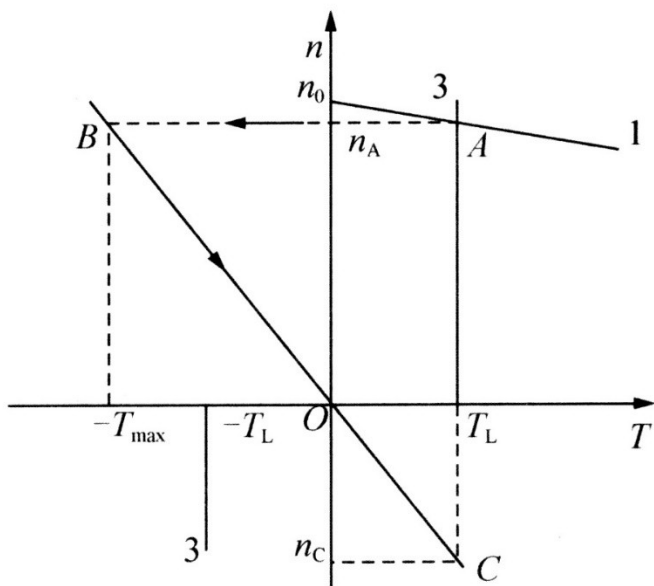
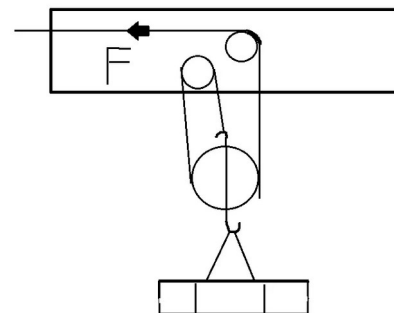


图 5.26 能耗制动机械特性



2. 反接制动

(1) 制动原理

带位能性恒转矩负载的电动机，电枢反接的制动工作原理。

正常工作时，K1 闭合，K2 断开。制动时，K1 断开，K2 闭合。此时电枢电流为：

$$I_a = \frac{-U_N - E_a}{R_a + R_z} = -\frac{U_N + E_a}{R_a + R_z}$$

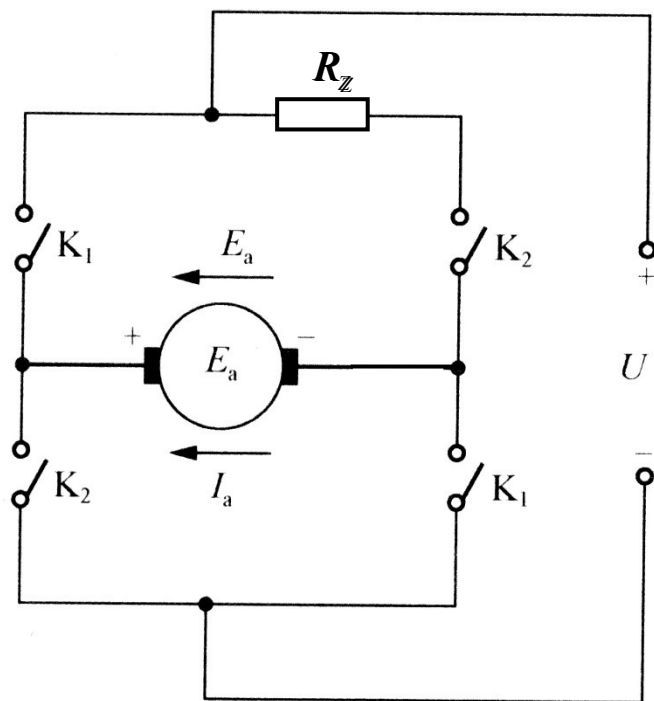


图 5.27 电枢反接制动电路图

(2) 制动过程： a→b
→c→d

(3) 特点：

- ① 制动转矩大、制动快，但冲击电流大，需串入电阻，使损耗加大；
- ② 当转速接近零时，若不及时切断电源，电机将反转，一般用于要求正反转的场合。

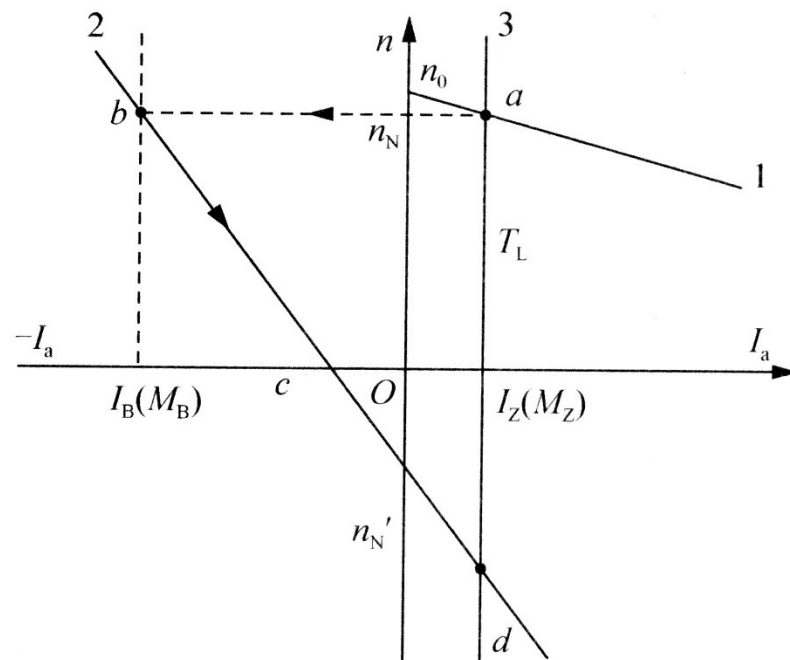


图 5.28 电枢反接制动机械特性

$$I_a = \frac{-U_N - E_a}{R_a + R_Z}$$

3. 回馈制

动(1) 制动原理

当电动机转轴受到外加转矩的作用，让电动机转速超过理想空载转速，使电动机处于发电状态，能量转换关系为系统动能转换为电能反馈给电网。

(2) 制动过程（电车下坡）： $a \rightarrow b$

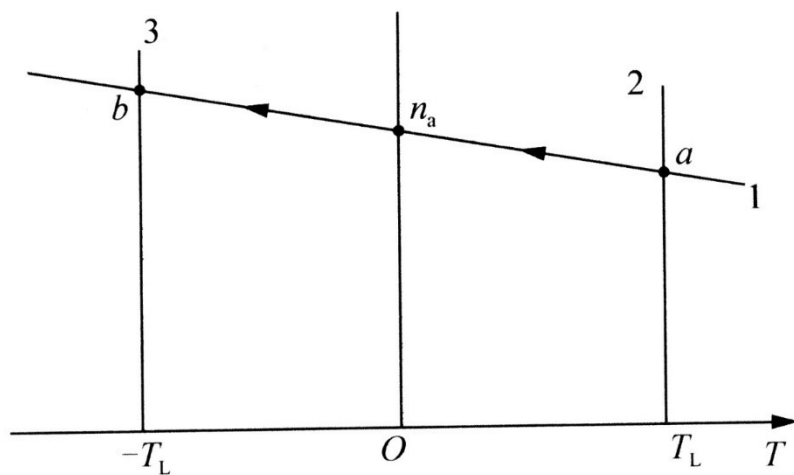


图 5.29 回馈制动机械特性

(3) 特点:

- ① 电流反向;
- ② 能量流向变化: 电动状态下由电网电能转换为机械能驱动电机工作; 制动状态下电机轴上的机械能转换为电能送回电网。
- ③ 不能用来快速停车 (因为只有 $n > n_0$ 时才能回馈制动)

例 5-6 已知某电动机的机械性能如图 5.30 所示，当电动机与特性 2、3、4 的负载配合时，平衡点 A、B、C、D 中哪些是稳定运行点，哪些是非稳定运行点？

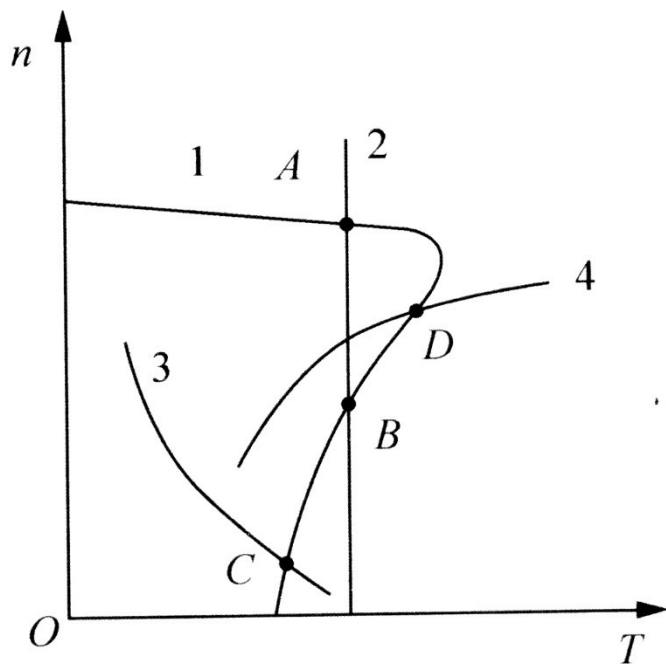


图 5.30 电动机的机械特性

稳定运行点： **A、D**

非稳定运行点： **B、C**

例 5-7 他励直流电动机 $P=30\text{kW}$, $U_N=220\text{V}$, $I_N=158.8\text{A}$, $n_N=1000\text{r/min}$, $R_a=0.1\Omega$, 试求: ① $C_e\Phi_N$ 、 T_N , n_0 ; ② 负载转矩 $T_L=0.8T_N$ 时, 电动机在固有特性上(图 5.31)稳定运行的转速; ③ 负载转矩 $T_L=0.8T_N$ 时, 电动机在电枢回路串入 0.3Ω 电阻时的稳定运行转速; ④ 负载转矩 $T_L=0.8T_N$ 时, 电动机在固有特性上稳定运行时进行能耗制动, 制动初始电流限制为额定电流的两倍时, 制动电阻应为多大? ⑤ 直接启动时启动电流为额定电流的几倍?

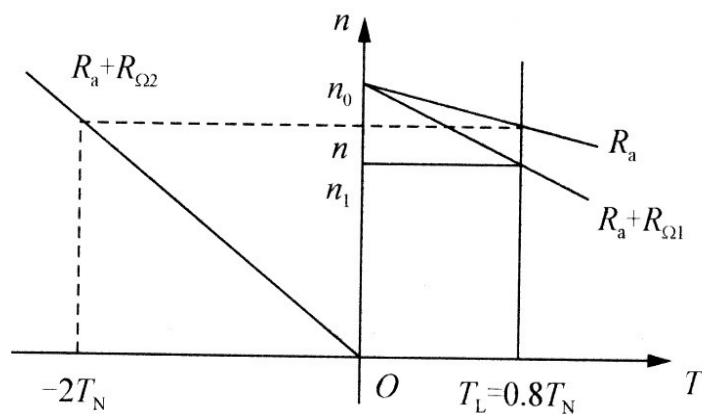


图 5.31 他励直流电动机机械特性

解:

$$\textcircled{1} C_e\Phi_N = \frac{U_N - I_N R_a}{n_N} = \frac{220 - 158.8 \times 0.1}{1000} = 0.20412$$

$$T_N = 9550 \frac{P_N}{n_N} = 9550 \times \frac{30}{1000} = 286.5 (\text{N} \cdot \text{m})$$

$$n_0 = \frac{U_N}{C_e\Phi_N} = \frac{220}{0.20412} = 1077.8 (\text{r/min})$$

$$T_L = 0.8T_N \rightarrow I_a = 0.8I_{aN}$$

$$\textcircled{2} n = \frac{U_N - I_a R_a}{C_e\Phi_N} = \frac{220 - 0.8 \times 158.8 \times 0.1}{0.20412} = 1015.56 (\text{r/min})$$

$$\textcircled{3} n = \frac{U_N - I_a (R_a + R_{\Omega 1})}{C_e\Phi_N} = \frac{220 - 0.8 \times 158.8 \times (0.1 + 0.3)}{0.20412} = 828.85 (\text{r/min})$$

$$\textcircled{4} R_{\Omega 2} = \frac{U - C_e\Phi_N n_N}{I_a} - R_a = \frac{0 - 0.20412 \times 1015.56}{-2 \times 158.8} - 0.1 = 0.5527 (\Omega)$$

$$\textcircled{5} I_{st} = \frac{U_N}{R_a} = \frac{220}{0.1} = 2200 (\text{A})$$

$$K_{ist} = \frac{I_{st}}{I_N} = \frac{2200}{158.8} = 13.854$$

5.7 直流电动机的驱动控制电路

主要讨论功率不大、电压不高、体积较小的微型直流电动机的驱动。

包括：

(1) 永磁式直流电动机

(2) 电磁式并励直流电动机

1. 直流电机驱动问题

在直流电机驱动电路的设计中，主要考虑的是系统**功能**和**性能**。

(1) 功能

① 电机是单向还是双向转动？

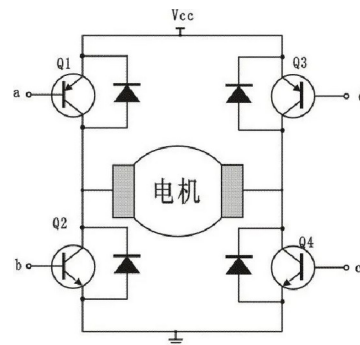
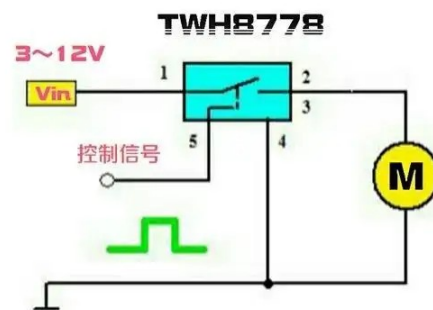
单向转动：一个大功率三极管或场效应管；

双向转动：由 4 个功率元件构成 H 桥电路来驱动。

② 需不需要调速？

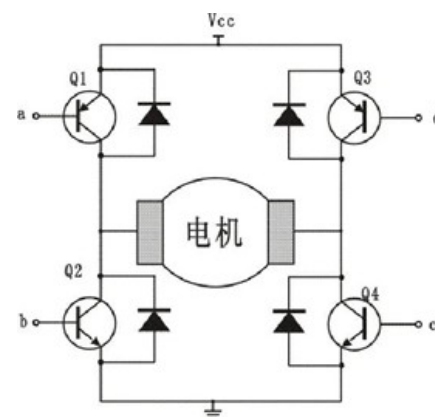
不需要调速：继电器或开关即可

需要调速：广泛采用 PWM 脉宽调制技术



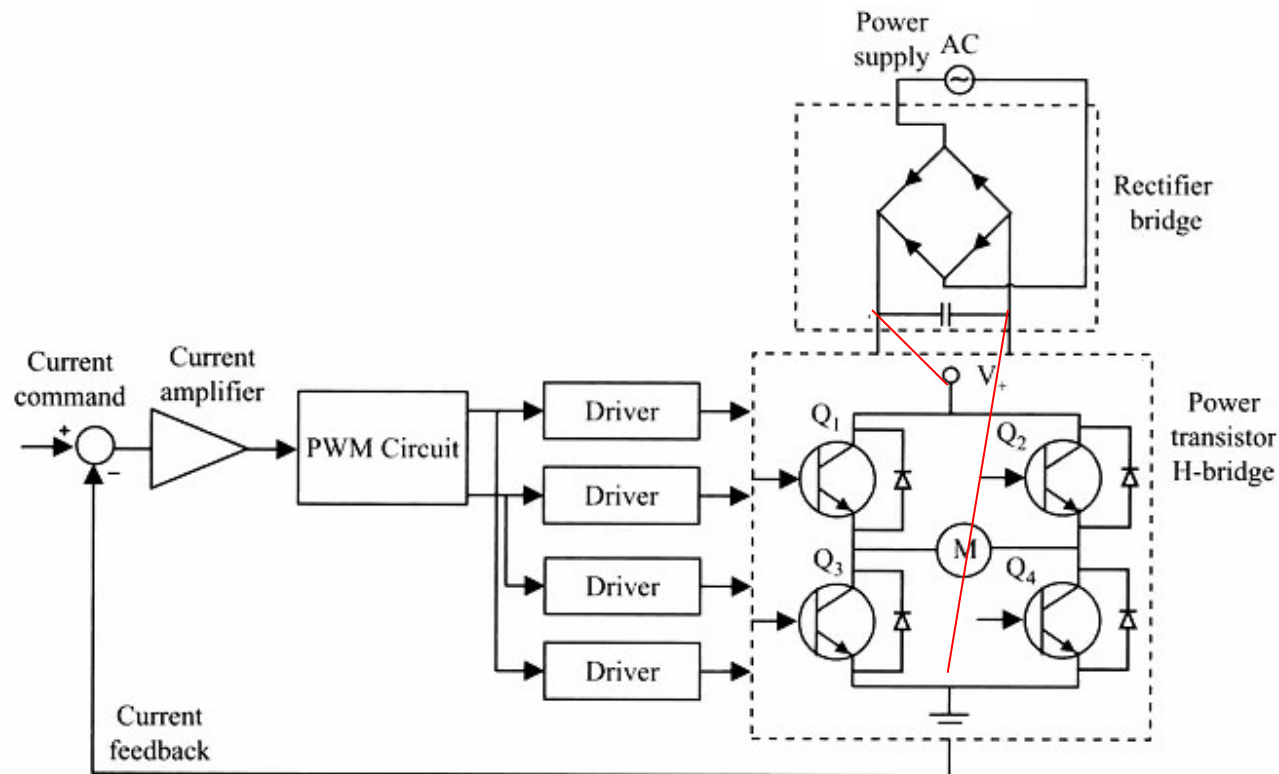
(2) 性能

- ① 输出电流和电压范围
- ② 效率，保证功率管开关工作状态（硬开关、软开启、软关断）
- ③ 功率电路对控制输入端的影响，控制电路输入高阻抗或光电耦合
- ④ 对电源的影响，注意共态导通问题
- ⑤ 可靠性



Drivers for DC Brush-type and Brushless Motors

The most common type of power stage amplifier used for DC brush-type motors is an **H-bridge amplifier**.



(3) PWM (Pulse Width Modulation) 调速控制

- ① 按一个固定频率（周期）来接通和断开电源；
- ② 根据需要改变一个周期内接通和断开的的时间比（占空比）；
- ③ 采用 PWM 技术构成的无级调速系统，启停时对直流系统无冲击，并且具有启动功耗小、运行稳定的特点。

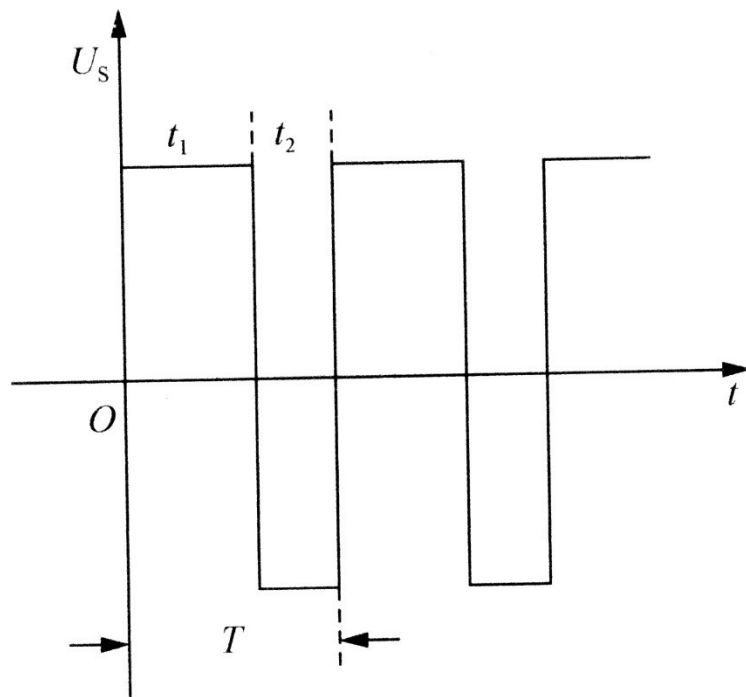
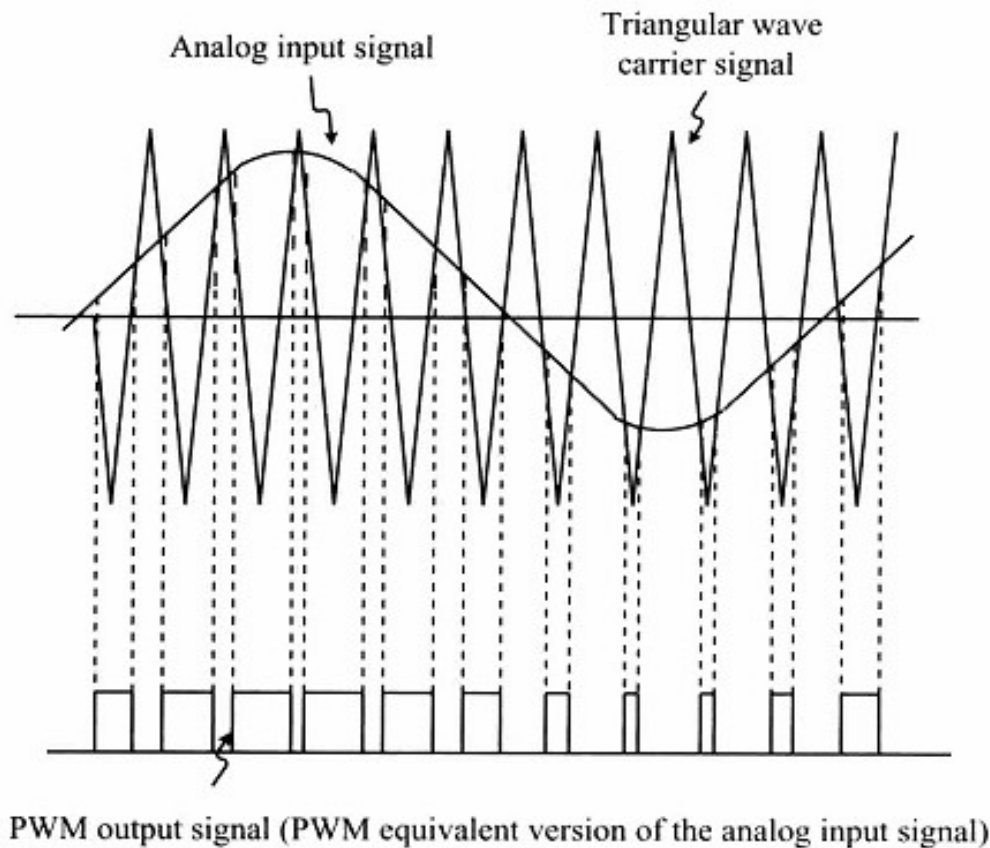


图 5.32 PWM 调速波形图

$$U_{av} = \frac{t_1}{t_1 + t_2} U_s = \frac{t_1}{T} U_s = \alpha U_s$$

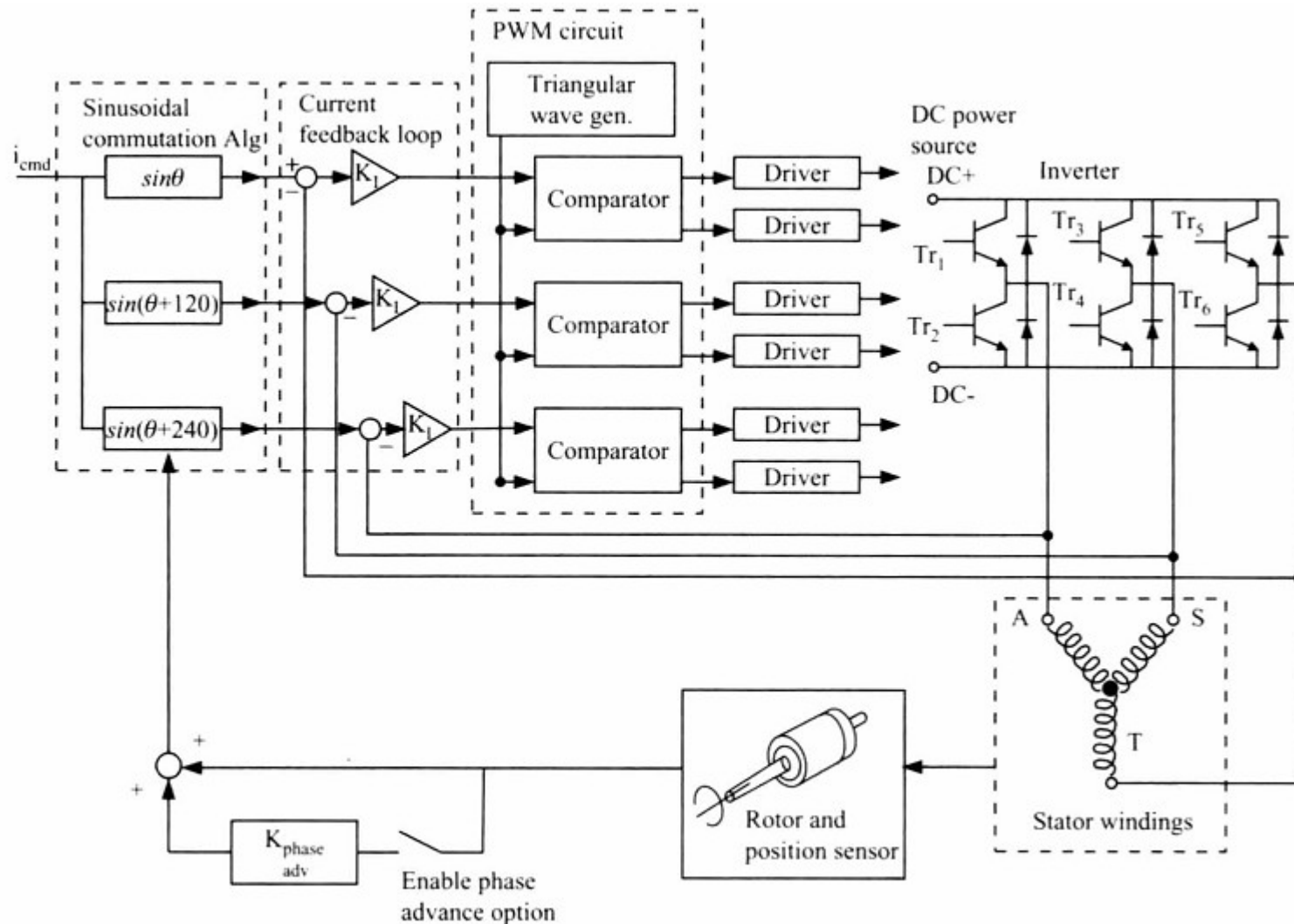
The PWM circuit converts an analog input signal to a fixed frequency but variable pulse width signal.



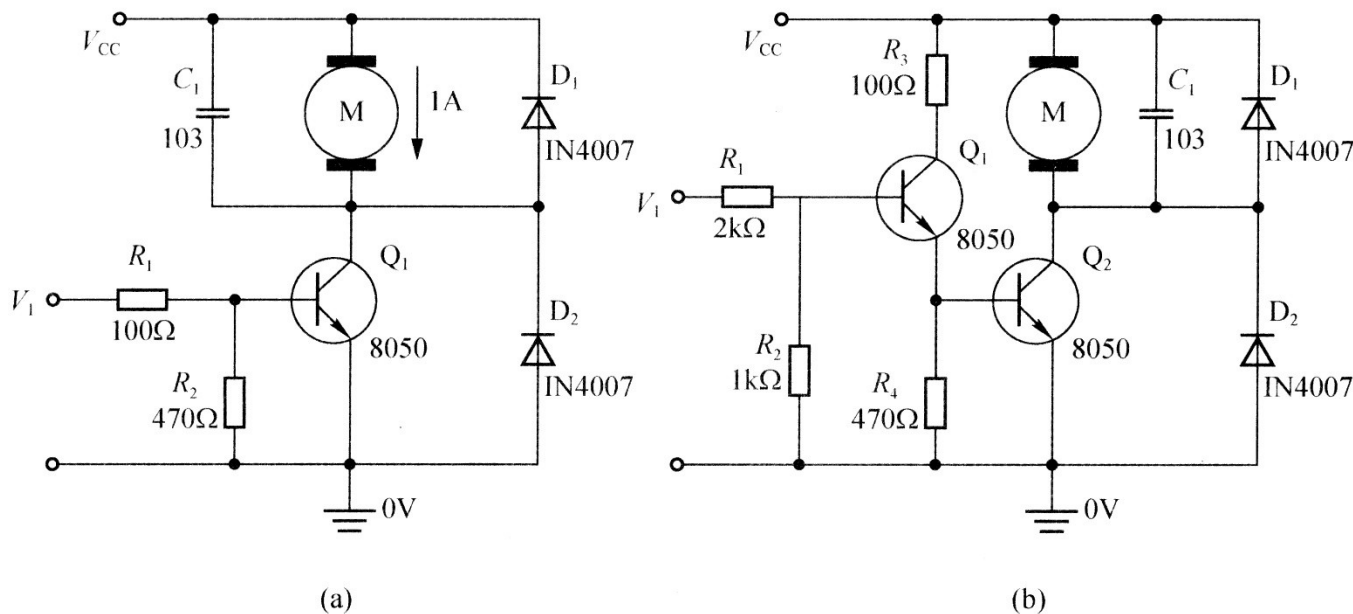
By modulating the ON-OFF time of the pulse width at a high switching frequency, hence the name “pulse width modulation”

FIGURE 8.32: PWM circuit function: Carrier signal is a high-frequency triangular signal. The input signal is an analog signal value. The output pulse has fixed frequency, which is the carrier frequency. The ON/OFF pulse width is varied as a function of the value of the input signal relative to the carrier signal.

A current-controlled drive for a 3-phase brushless DC motor.



2. 直流电机单向起停驱动电路



- (1) V_1 高电平时电机启动运转
- (2) 电路 (b) 增加一级放大, 可以有效降低 Q_1 的基极电流, 以 R_3 来限制 Q_2 的基极电流
- (3) D_1 为续流二极管, D_2 用来保护晶体管不被反向电动势损坏

3. 直流电机双向运转 H 桥驱动电路

(1) 直流电动机双向 H 桥驱动原理

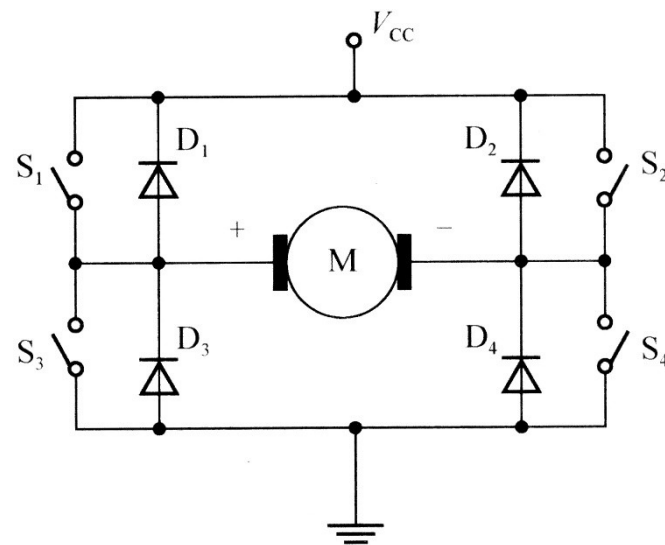
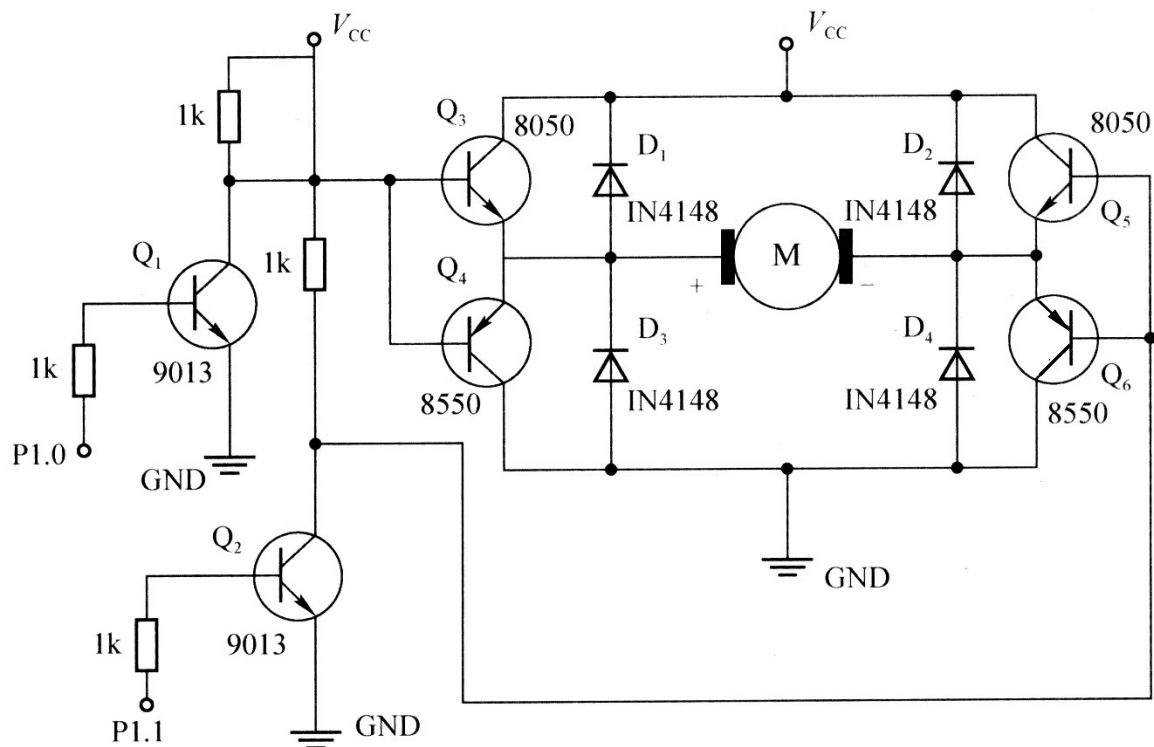


图 5. 34 直流电动机 H 型全桥控制电路原理图

当 S1 、 S4 导通时， S2 、 S3 关断，电机两端加正向电压，可以实现电机的正转或反转制动；当 S2 、 S3 导通时， S1 、 S4 关断，电机两端为反向电压，电机反转或正转制动。

单电源，可实现四象限的驱动控制

(2) 分立元件构成的 H 桥驱动电路



当 P1.0=0, P1.1=1 时, Q3 和 Q6 导通, 而 Q4 和 Q5 关断, 电动机正转; 当 P1.0=1, P1.1=0 时, Q3 和 Q6 关断, 而 Q4 和 Q5 导通, 电动机反转。

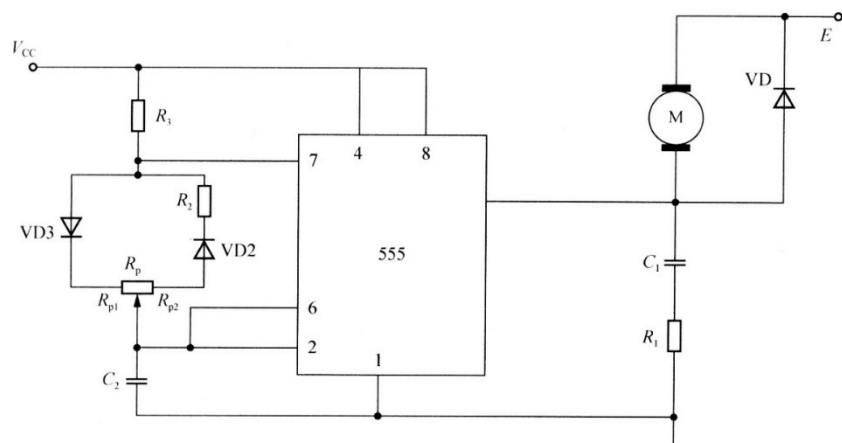
(3) H 桥驱动电路性能指标测试

- ① 直流电动机两端电压与电源电压相比，不应该降低太多；
- ② 直流电动机通过的电流与电动机直接接电源相比，也不应该降低太多；
- ③ 功率管在长时间满负荷工作时，元件不应该烫手。

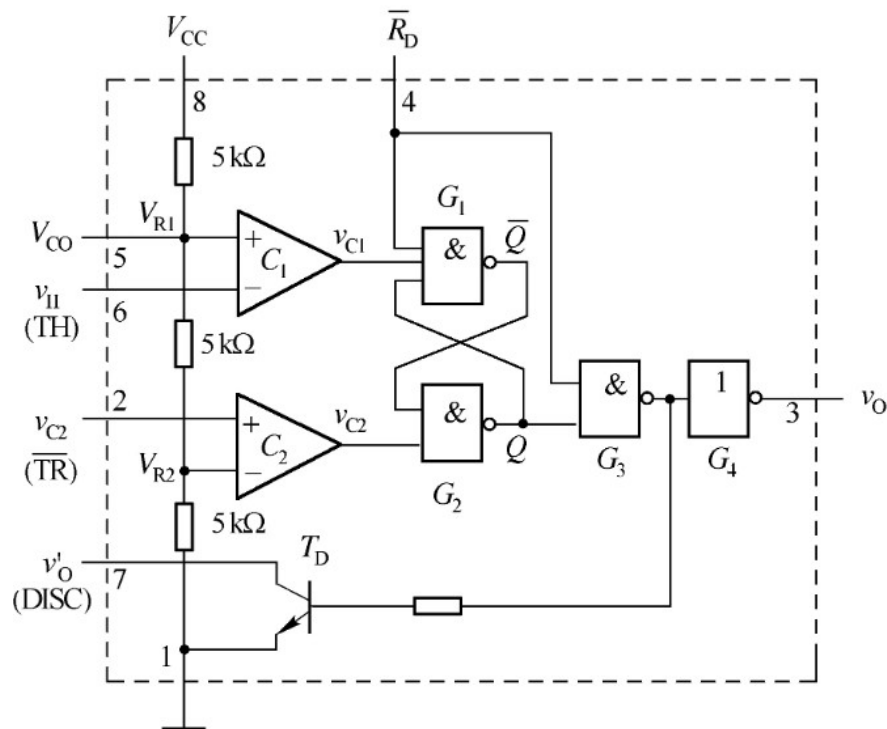
(4) 集成 H 桥驱动电路

**L293D 、 L298N 、 TA7257P 、 SN754410
等**

4. 直流电机单向运转 PWM 调速驱动电路



输 入			输 出	
阈值输入(V_{I1})	触发输入(V_{I2})	复位($\overline{R_D}$)	输出(V_O)	放电管T
\times	\times	0	0	导通
$< \frac{2}{3}V_{CC}$	$< \frac{1}{3}V_{CC}$	1	1	截止
$> \frac{2}{3}V_{CC}$	$> \frac{1}{3}V_{CC}$	1	0	导通
$< \frac{2}{3}V_{CC}$	$> \frac{1}{3}V_{CC}$	1	不变	不变



当 555 输出高电平时，电机电枢绕组不能得到有效电压驱动，当输出低电平时，可以得到有效电压驱动，通过调节 555 输出方波的占空比即可调节电机转速。方波占空比越小，低电平时间越长，驱动电流越大，转速加快，反之亦然。

5. 基于单片机的直流电机双向运转 PWM 调速控制电路

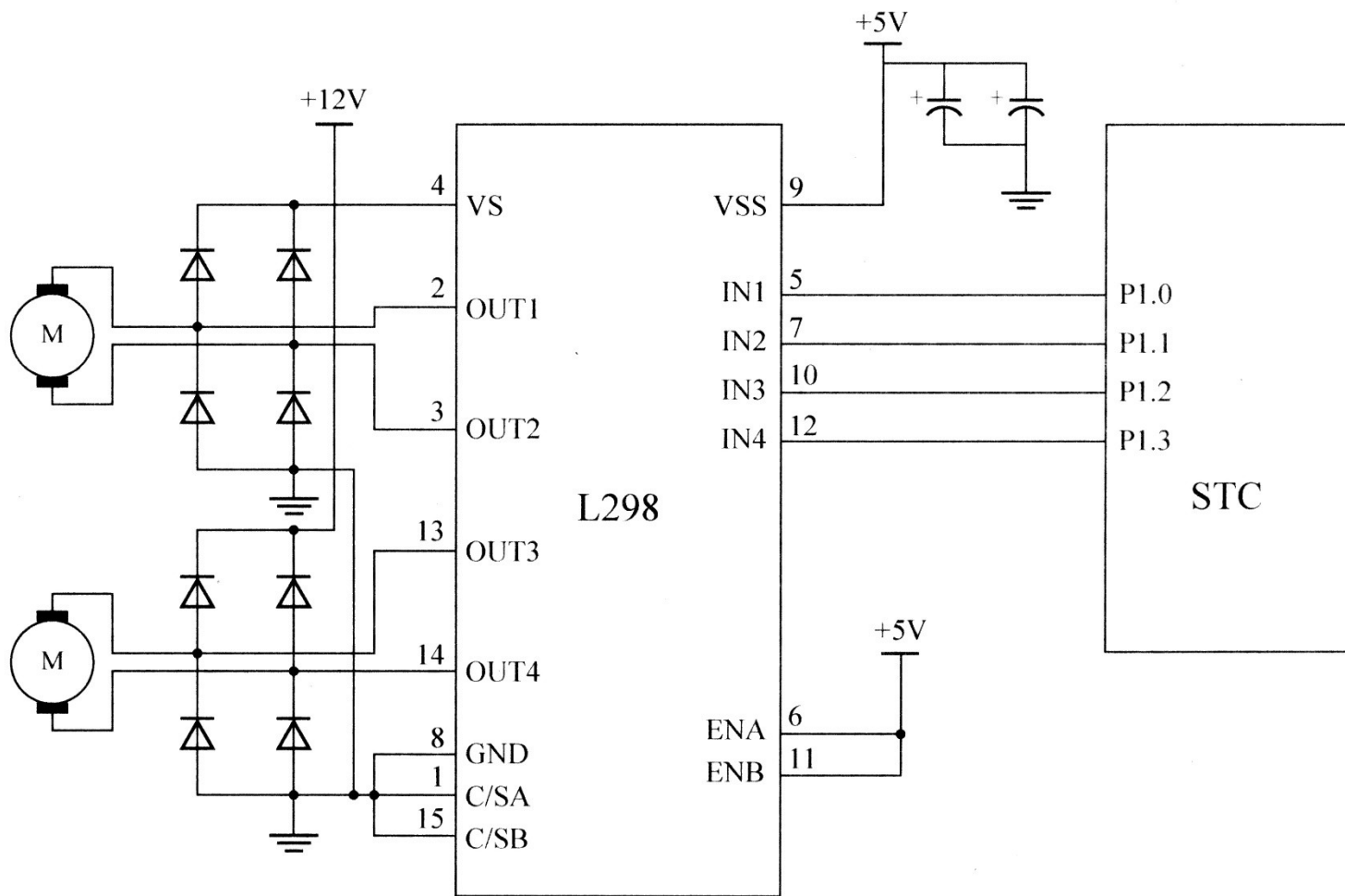


图 5.39 直流电动机双向运转 PWM 调速控制电路

6. 基于可编程器件的直流电机控制电路

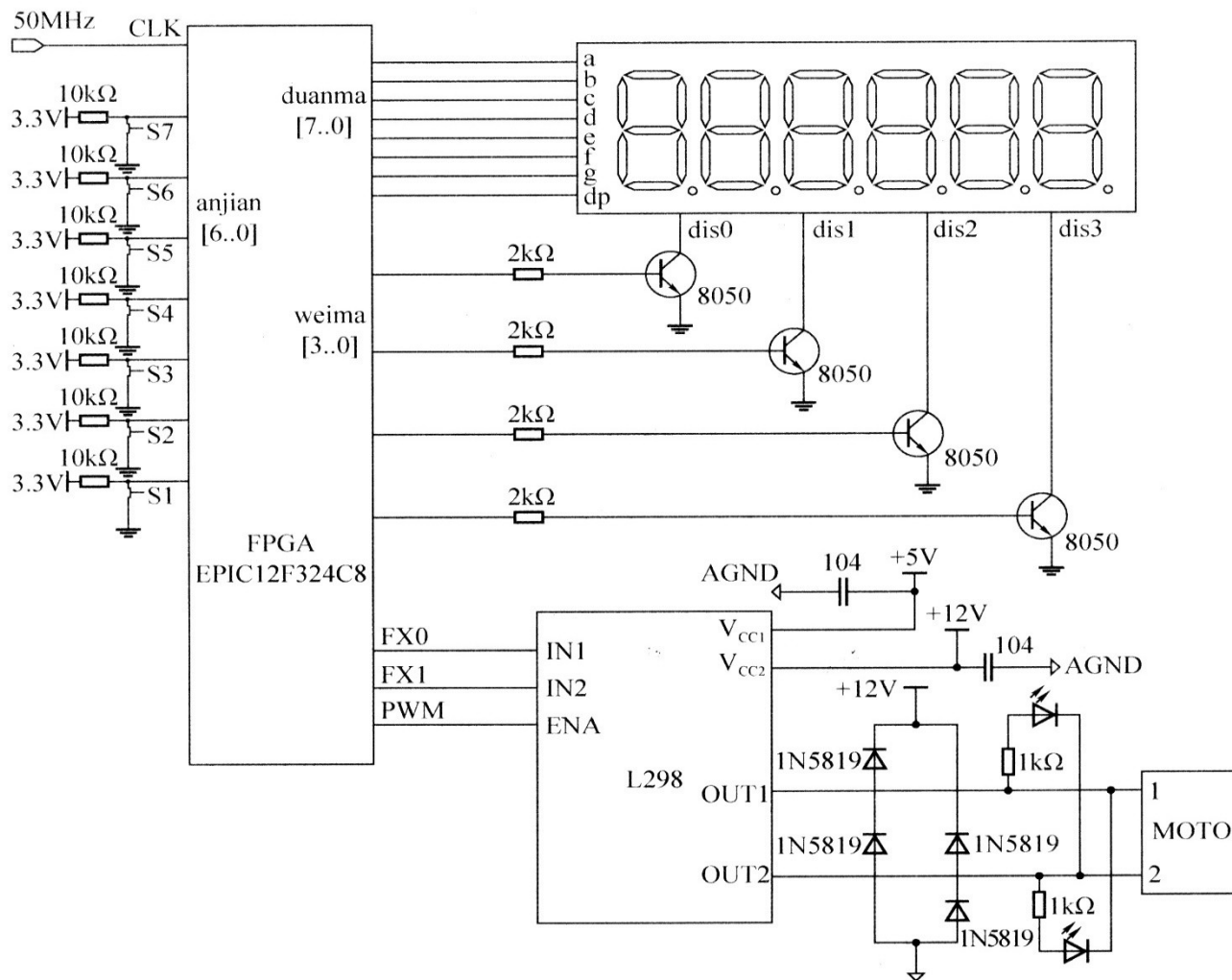


图 5.40 FPGA 控制的直流电动机 PWM 调速电路

DC Motor: Electromechanical Dynamic Model

The most commonly used model for a DC electric motor.

The electrical relation between terminal voltage, current, and rotor speed is:

$$V_t(t) = L_a \frac{di(t)}{dt} + R_a i(t) + K_e \cdot \dot{\theta}(t)$$

The electrical-to-mechanical power conversion is given by:

$$T_m(t) = K_T i(t)$$

K_T is the torque gain

T_m is the torque generated by motor

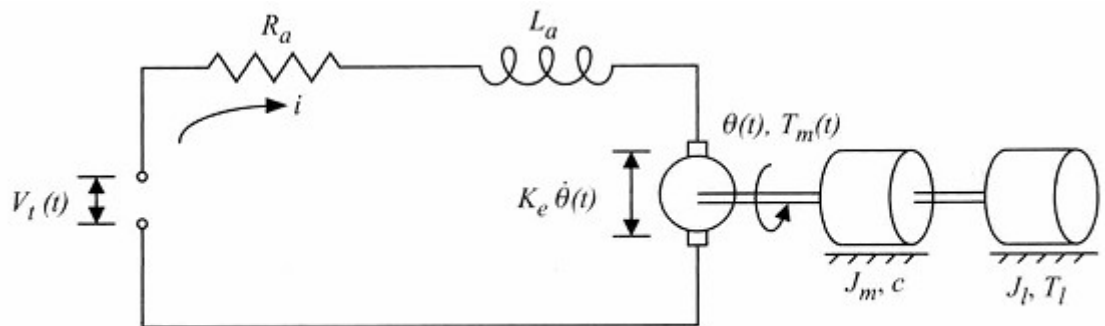


FIGURE 8.69: DC motor dynamic model.

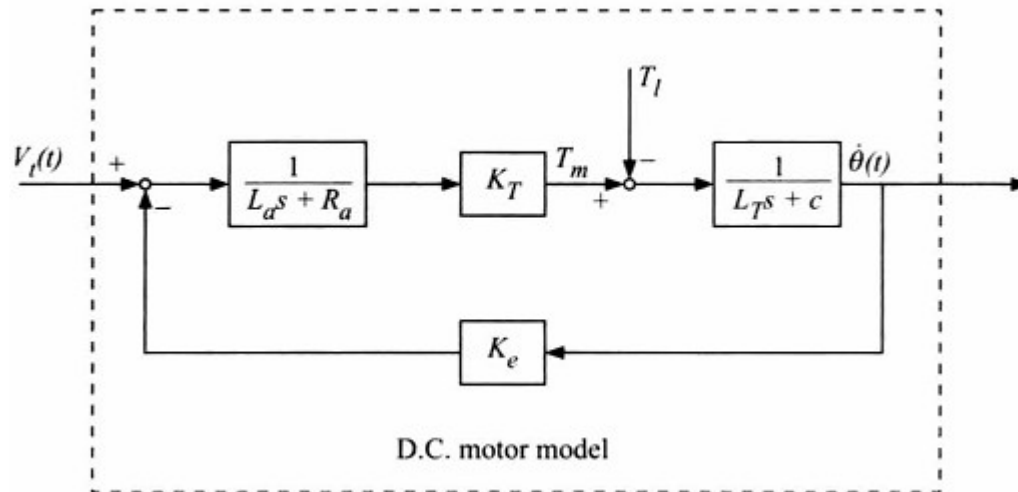


FIGURE 8.70: Block diagram of DC motor dynamic model.

Finally the mechanical relation between torque, inertia, and other load is given by

$$T_m(t) = (J_m + J_l) \ddot{\theta} + c \dot{\theta}(t) + T_l(t)$$

Taking the Laplace transform of the above equation for zero initial conditions

$$\begin{aligned} V_t(s) &= (L_a s + R_a) i(s) + K_e \dot{\theta}(s) \\ \rightarrow i(s) &= \frac{1}{L_a s + R_a} [V_t(s) - K_e \dot{\theta}(s)] \\ T_m(s) &= K_T i(s) \end{aligned}$$

$$(J_T s + c) \dot{\theta}(s) = T_m(s) - T_l(s) \quad \text{where } J_T = J_m + J_l.$$

The transfer function describing the effect of terminal voltage and load torque on the motor speed can be found as:

$$\dot{\theta}(s) = \frac{K_T}{(J_t s + c)(L_a s + R_a) + K_T K_e} V_t(s) - \frac{(L_a s + R_a)}{(J_t s + c)(L_a s + R_a) + K_T K_e} T_l(s)$$

The transfer function from motor terminal voltage to motor speed:

$$\begin{aligned} \frac{\dot{\theta}(s)}{V_t(s)} &= \frac{K_T}{(J_t s + c)(L_a s + R_a) + K_T K_e} \\ &= \frac{K_T}{J_T L_a s^2 (L_a c + J_T R_a) s + (c R_a + K_T K_e)} \\ &= \frac{K_T}{J_T L_a s^2 + \left(\frac{L_a c + J_T R_a}{J_T L_a} \right) s + \left(\frac{c R_a + K_T K_e}{J_T L_a} \right)} \end{aligned}$$

The poles of the transfer function are given by:

$$s^2 + \left(\frac{L_a c + J_T R_a}{J_T L_a} \right) s + \left(\frac{c R_a + K_T K_e}{J_T L_a} \right) = 0$$

Normally, this equation has 2 complex conjugate roots.

Special Case: DC Servo Motors

$$s^2 + \left(\frac{L_a c + J_T R_a}{J_T L_a} \right) s + \left(\frac{c R_a + K_T K_e}{J_T L_a} \right) = 0$$

They have very low inductance (L small) and damping (c small).

The transfer function can be approximated as

$$\frac{\dot{\theta}(s)}{V_t(s)} \simeq \frac{\frac{K_T}{J_T L_a}}{s^2 + \left(\frac{R_a}{L_a} \right) s + \left(\frac{K_T K_e}{J_T L_a} \right)}$$

The motor speed is also influenced by disturbance or load torque.

$$\dot{\theta}(s) = \frac{\frac{1}{K_e}}{(\tau_m s + 1)(\tau_e s + 1)} V_t(s) - \frac{\frac{1}{K_e} \frac{R_a}{K_T}}{(\tau_m s + 1)} T_l(s)$$

$$\tau_m = -\frac{1}{p_1} = \frac{J_T R_a}{K_T K_e} \quad \text{mechanical time constant}$$

$$\tau_e = -\frac{1}{p_2} = \frac{L_a}{R_a} \quad \text{electrical time constant}$$

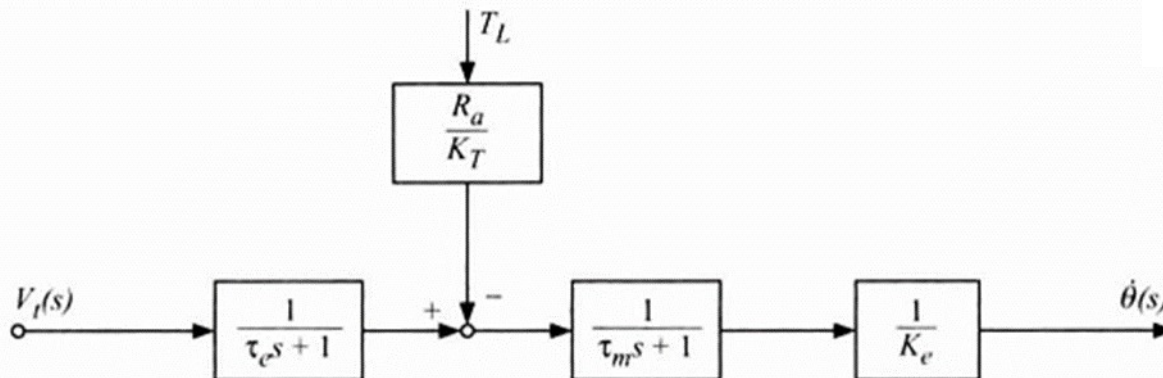


FIGURE 8.71: Block diagram of the relationship between motor terminal voltage and load torque to motor speed for a typical DC servo motor.

Voltage Amplifier Driven DC Motor

If a voltage amplifier is used to drive the motor:

$$\frac{\dot{\theta}(s)}{V_{in}(s)} = \frac{\dot{\theta}(s)}{V_t(s)} \frac{V_t(s)}{V_{in}(s)} = G_{amp}(s)G_{motor}(s)$$

Where the voltage amplifier is represented by a first-order filter model:

$$\frac{V_t(s)}{V_{in}(s)} = G_{amp}(s) = \frac{A_v}{(\tau_a s + 1)}$$

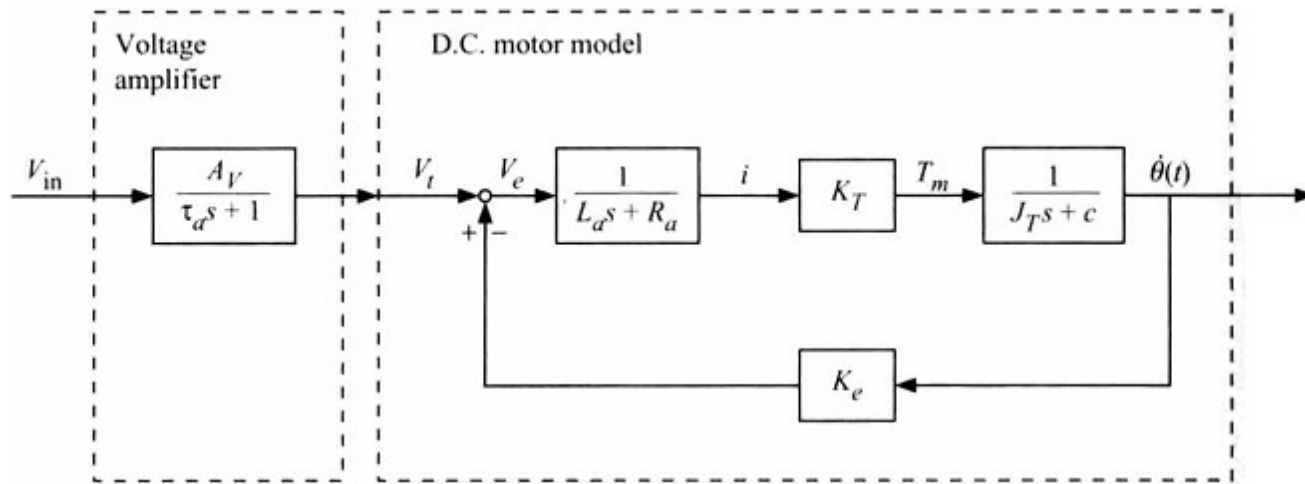


FIGURE 8.72: Block diagram of transfer functions for a DC servo motor by a voltage amplifier

Current Amplifier Driven DC Motor

In the majority of cases, the d.c. motor terminal voltage is controlled by an amplifier which regulates armature

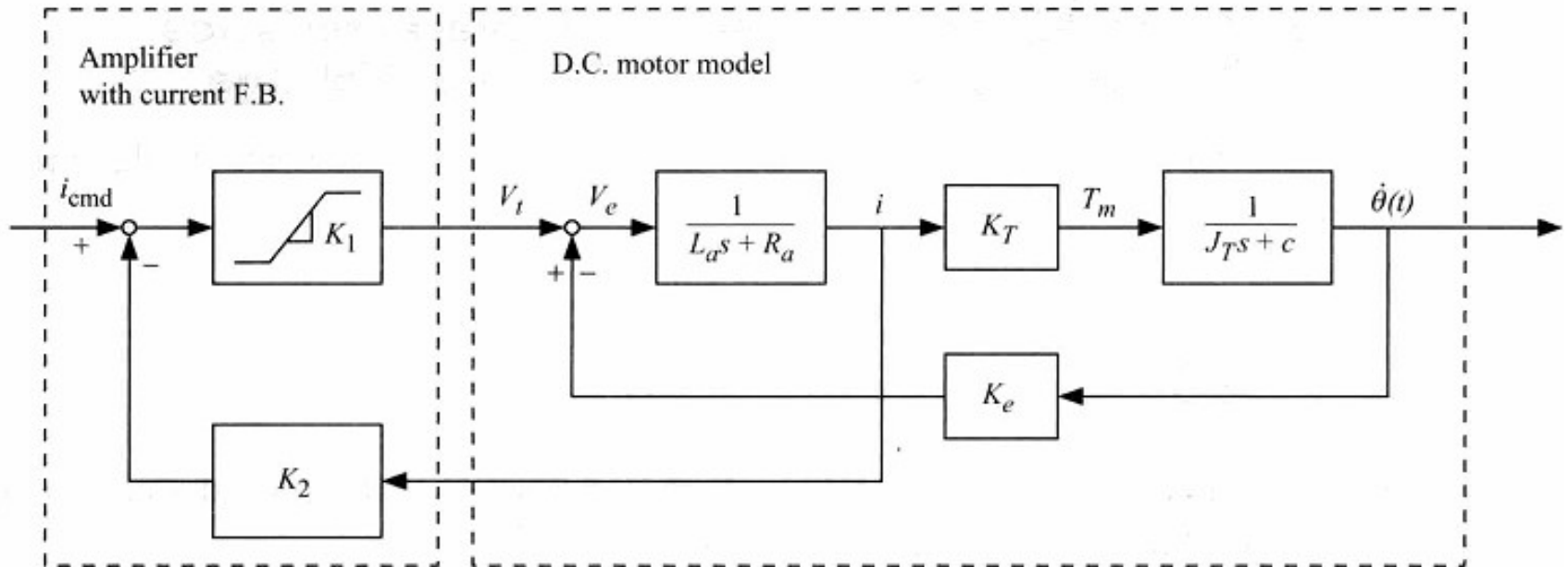


FIGURE 8.73: Block diagram of DC motor and amplifier using current feedback.

用于转矩调节的电流闭环

$$\begin{aligned}
 \frac{\dot{\theta}(s)}{i_{cmd}(s)} &= \frac{K_1 \frac{K_T}{(L_a s + R_a)(J_T s + c) + K_e K_T}}{1 + K_1 \frac{K_T}{(L_a s + R_a)(J_T s + c) + K_e K_T} K_2 \left(\frac{J_T s + c}{K_T} \right)} \\
 &= \frac{\frac{K_1 K_T}{L_a J_T}}{s^2 + \left(\frac{L_a c + R_a J_T s + K_1 K_2 J_T}{L_a J_T} \right) s + \left(\frac{K_e K_T + K_1 c + K_1 K_2 c}{L_a J_T} \right)} \\
 &= \frac{K}{s^2 + b s + c} = \frac{K_a}{(\tau_a s + 1)} \frac{K_T}{(J_T s + c)}
 \end{aligned}$$

If we consider the transfer function between armature current and motor speed:

$$T_m(t) = K_T i(t)$$

$$T_m(t) = J_T \ddot{\theta} + c \dot{\theta} - T_l(t)$$

$$\dot{\theta}(s) = \frac{K_T}{(J_T s + c)} i(s) - \frac{1}{(J_T s + c)} T_l(s)$$

联立消掉可得
 i_{cmd} 与 i 的关系

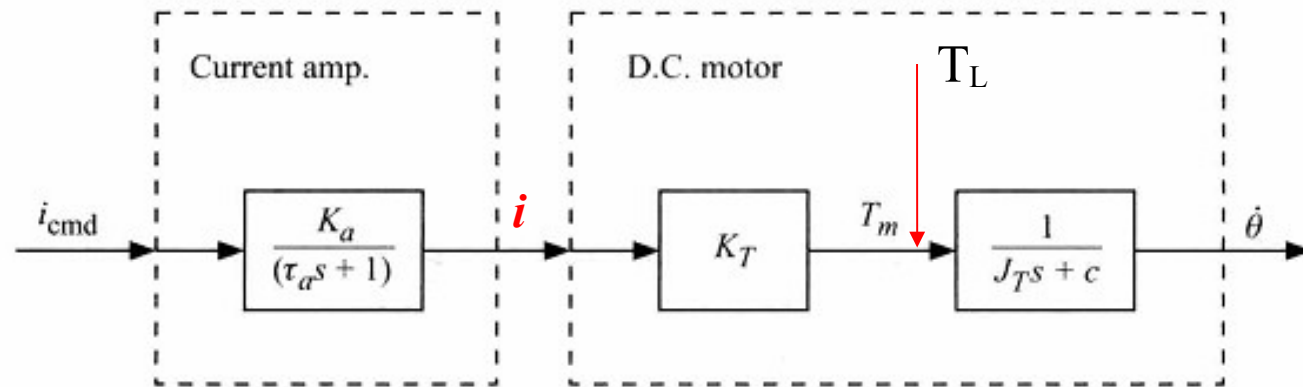


FIGURE 8.74: Current amplifier plus DC motor transfer function from commanded current to motor speed.

Steady-State Torque-Speed Characteristics of a DC motor under Constant Terminal Voltage

Consider the electrical and electrical-to-mechanical power conversion relations for a d.c. motor:

$$V_t(t) = L_a \frac{di}{dt} + R_a i + K_e \dot{\theta}(t)$$

$$T_m(t) = K_T i(t)$$

In steady state:

$$T_m(t) = \frac{K_T}{R_a} V_t(t) - \frac{K_T K_e}{R_a} \dot{\theta}(t)$$

This is a linear relationship of the type:

$$y = -ax + b$$

Consider the equation for various constant terminal voltage values V_{ti} .

$$T_m(t) = \frac{K_T}{R_a} V_i(t) - \frac{K_T K_e}{R_a} \dot{\theta}(t)$$

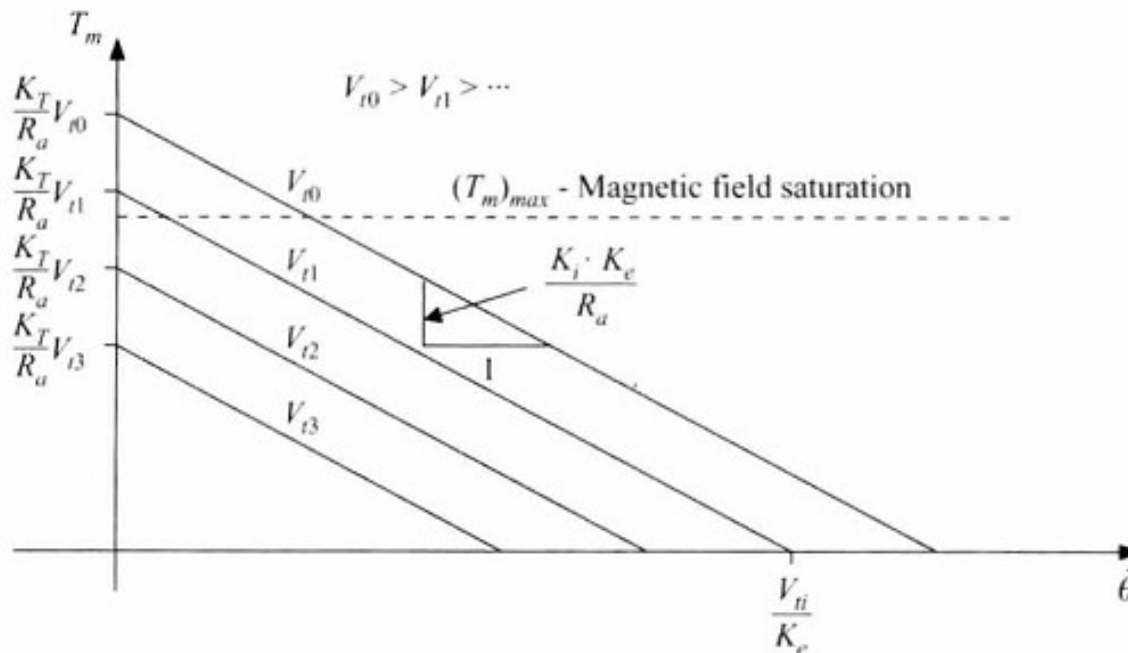


FIGURE 8.75: Steady-state torque-speed characteristics of a DC motor.

Steady-State Torque-Speed Characteristics of a DC motor and Current Amplifier

When we consider a DC motor driven by a current amplifier, we need to consider the following additional relation.

$$V_t(t) = K_1[i_{cmd}(t) - K_2 i(t)]$$

When the amplifier saturates,

$$V_t(t) = V_{\max}$$

The steady-state torque-speed curve for the d.c. motor under current amplifier control,

$$T_m = \frac{K_T K_1}{R_a + K_1 K_2} i_{cmd} - \frac{K_T K_e}{R_a + K_1 K_2} \dot{\theta}$$

$$T_m(t) = \frac{K_T}{R_a} V_t(t) - \frac{K_T K_e}{R_a} \dot{\theta}(t)$$
$$T_m(t) = K_T i(t)$$

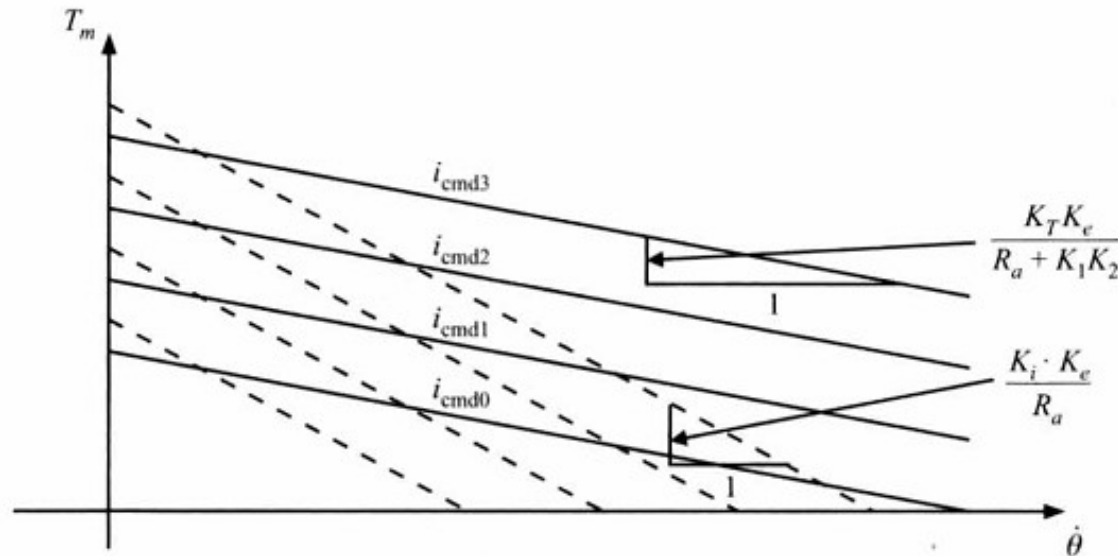


FIGURE 8.76: Speed-torque characteristics of a DC motor in steady state with current-controlled amplifier.

The steady-state torque produced by a DC motor under constant current conditions decreases with increasing speed at a much slower rate than the case when the motor is controlled by a voltage amplifier under constant terminal voltage condition.

本章小结

- 1、直流电动机的工作原理、电动势平衡方程式、转矩平衡方程式、功率平衡方程式的含义；
- 2、他励直流电动机的机械特性，转速跟电压、电枢绕组、磁通的关系；相应的调速方法；
- 3、直流电动机启动存在的问题，常用的启动方法；
- 4、直流电动机的各种常用的驱动控制电路；

作业

习题五：四 -1 ， 四 -3

3 月 29 号上交